

اثر پیری تحت نیرو بر سیم‌های ارتدنسی برای تغییر کاربری آنها به تقویت کننده‌های کامپوزیت فلز / پلیمر هوشمند

ناهید حسن‌زاده نعمتی^{*}، سید خطیب‌الاسلام صدرنژاد^{۳,۲} و شایگان ریاضتی^۴

^۱دانشگاه آزاد اسلامی، واحد علوم و تحقیقات تهران، دانشکده مهندسی پزشکی

^۲دانشگاه صنعتی شریف، دانشکده مهندسی و علم مواد

^۳پژوهشگاه مواد و انرژی

^۴دانشگاه آزاد اسلامی، واحد تهران جنوب، دانشکده مهندسی مواد

تاریخ ثبت اولیه: ۱۳۸۷/۹/۸، تاریخ دریافت نسخه اصلاح شده: ۱۳۸۸/۴/۲۱، تاریخ پذیرش قطعی: ۱۳۸۸/۸/۲۸

چکیده در این مقاله نتایج آخرین تحقیقات برای تغییر کاربری سیم‌های ارتدنسی NiTi مستعمل به سیم‌های حافظه‌دار از طبق آنیل کردن و پرسازی به منظور استفاده در کامپوزیت‌های هوشمند ارائه شده است. دماهای تغییر حالت قبل و بعد از آنیل انحلالی یک ساعته در ۸۵۰ و ۱۰۰۰°C با روشن سنجش مقاومت الکتریکی (ER) و کالریمتری روبیشی تغییری (DSC) تعیین شده است. همانگونه نتایج، صحت شیوه تعیین دماهای تغییر حالت با این دستگاه‌ها که یکی‌شان (ER) ساخت داخل است را تأیید می‌کند. اندازه‌گیری حافظه ترموالاستیک نشان می‌دهد که پرسازی باعث دوطرفه شدن آلیاژ سوپرالاستیک و درنتیجه امکان شکل‌گیری مناسب آلیاژ در دماهای مختلف می‌شود. از این خاصیت می‌توان برای ساخت عملگرهای ماهیچه‌های مصنوعی بهره‌برداری کرد.

کلمات کلیدی پیری تحت نیرو، حافظه داری دو طرفه، مقاومت الکتریکی، سیم‌های ارتدنسی، ماهیچه مصنوعی.

Effect of Constrained Ageing on Orthodontic Wires for Changing Their Control to Reinforcements in Smart Metal/Polymer Composite

N. Nemati^{*1}, S.K. Sadrnezhad^{2,3} and Sh. Riazati⁴

¹Department of Biomedical Engineering, Science and Research Branch, Islamic Azad University

²Department of Materials Science and Engineering, Sharif University of Technology

³Materials and Energy Research Center

⁴Department of Materials Engineering, South Tehran Branch, Islamic Azad University

Abstract In this paper, the results of recent studies on conversion of the orthodontic wires into the shape memory alloys usable in smart composite materials via annealing and constrained ageing are presented. Electrical resistivity of the NiTi orthodontic wires have been measured before and after annealing at 850 and 1000 °C for 1hr. Comparable results obtained by the differential scanning calorimeter (DSC) and the electrical resistivity measurements indicated reliability of both methods and the ECR machine constructed during this research. Based on the experimental results, the constrained ageing resulted in appearance of two-way shape memory behavior which allowed the recovery of appropriate shapes at different temperatures applied to the alloy. This property could be used in manufacturing of the medical actuators.

Keywords Constrained Ageing; Two-Way Shape Memory Effect; Electrical Resistivity; Orthodontic Wire; Artificial Muscle.

* عهده‌دار مکاتبات

نشانی: تهران، خیابان سردار جنگل، خیابان گلزار یکم، دانشکده مهندسی پزشکی.

تلفن: ۰۲۱_۴۴۴۷۴۳۲۱، دورنگار: ۰۲۱_۴۴۴۷۴۳۱۹، پیام نگار: Hasanzadeh@srbiau.ac.ir

۱_ مقدمه

می شود. در ایران قیمت سیم ارتدنسی از سیم حافظه دار کمتر است، لذا می توان با اعمال عملیات حرارتی مناسب، سیم های سوپرالاستیک مستعمل را به حافظه دار با ارزش بیشتر تبدیل کرد. سیم های حافظه دار بازیابی شده، به دلیل زبری ناشی از خوردگی حفره ای، اتصال خوبی با زمینه پلیمری برقرار می کنند و علاوه بر ایجاد یک کامپوزیت هوشمند، از رهاشدن نیکل که عنصری سمی و سرطانزاست [۱۷] جلوگیری می کند. کامپوزیت های ساخته شده از این طریق به شرط تهیه شدن از پلیمر های انعطاف پذیر مانند سیلیکون که زیست سازگاری مناسبی نیز دارند [۱۸] قابلیت استفاده در ساخت ماهیچه مصنوعی [۱۹] مانند اسفنکتر مصنوعی را دارند.

برای عملکرد مناسب، سیم های حافظه دار باید بتوانند بطور متناوب تغییر شکل دهنند؛ لذا لازم است بتوانند حداقل دو شکل یکی در دمای پایین و دیگری در دمای بالا بازیابی کنند. ساده ترین روش برای دستیابی به این مقصود، فعلگری با خاصیت حافظه داری یک طرفه همراه با استفاده از یک فر بازگرداننده است. اما سرهم کردن چنین ابزاری مشکلات تکنولوژیکی دارد. ایجاد خاصیت حافظه داری دوطرفه در آلیاژ NiTi از طریق تربیت کردن آلیاژ، یک راه حل چشمگیر است [۲۰].

حافظه داری دوطرفه به بازیابی خود به خودی شکل های دمای پایین و دمای بالای آلیاژ طی استحاله فازی مارتزیت (M) با ساختار کریستالی مونوکلینیک شبیه پایدار در دمای پایین به آستنیت (A) با ساختار کریستالی CsCl پایدار در دمای بالا [۲۱] و بالعکس اطلاق می شود [۲۲]. بعداز فرآیندهای عملیات حرارتی و ساخت علاوه بر فازهای آستنیت و مارتزیت، در برخی ترکیبات آلیاژی، فاز واسطه به نام R ایجاد می شود که ساختار کریستالی تری گونال دارد [۲۳-۲۵]. واژه R اولین حرف کلمه رمبوده رال است و با این پندار که فاز R چنین ساختار کریستالی دارد، به آن مشهور شد [۲۶-۲۹]. ساختار رمبوده رال زیرمجموعه ساختار کریستالی تری گونال است.

زمینه پلیمری کامپوزیت های پلیمر /فلز هوشمند را می توان با عملگرهای حافظه دار سیمی [۱] یا نواری [۲] تقویت کرد. همراه شدن خاصیت حافظه داری (مربوط به تقویت کننده های فلزی) با خاصیت ویسکوالاستیسیته (مربوط به زمینه پلیمری)، این کامپوزیت ها را برای جایگزینی بافت های بیولوژیکی آسیب دیده مانند ماهیچه ها مستعد می سازد.

آلیاژ های نیکل-تیتانیم دارای کارآیی لازم برای ساخت عملگرهای حافظه دار هستند [۳]. این آلیاژ ها به دلیل خواص منحصر به فرد حافظه داری، سوپرالاستیسیته [۴، ۵] و زیست سازگاری [۶]، کاربرد وسیعی در پزشکی [۷-۱۱] یافته اند. سیم های ارتدنسی [۱۲] از جمله مصارف پزشکی آلیاژ های NiTi است که خاصیت اصلاح کننده ای آنها در اثر اعمال نیروی ثابت ناشی از خاصیت سوپرالاستیسیته صورت می گیرد [۱۳].

سالیانه تعداد زیادی سیم ارتدنسی NiTi به علت هم جواری با بزاق دهان طی دوره درمانی دچار خوردگی حفره ای شده [۱۳] و دور ریخته می شوند. استفاده مجدد از این سیم ها با همان کاربرد به دلیل کاهش زیست سازگاری سیم مستعمل منطقی به نظر نمی رسد. همچنین کاربرد مجدد سیم های ارتدنسی از دیدگاه مهندسی نیز خالی از اشکال نیست. تحقیقات نشان می دهد که خاصیت سوپرالاستیسیته سیم ها بعداز یکبار مصرف کاهش می یابد [۱۴] و درنتیجه میزان نیروی اعمالی از طرف سیم برای حرکت دندان ها کم می شود [۱۵].

تحقیقات قبلی نشان می دهد که انجام عملیات آنیل انحلالی برای حفظ خاصیت سوپرالاستیسیته کارگشا نیست [۱۶]. اما می توان با تغییر کاربری این سیم ها به سیم های حافظه دار، از آنها به منزله عملگرهای حفارتی استفاده کرد. این راه حل سبب بازیابی سیم های مستعمل و کاهش هزینه مواد مصرفی

قرار گرفتند و در کورهٔ حاوی اتمسفر معمولی یکی در دمای 1000°C و دیگری در 850°C به مدت ۱ ساعت آنیل و سپس در آب سرد شدند. نمونه‌های آنیل شده در 1000°C ، در دماهای 350°C ، 400°C و 500°C به مدت ۴ ساعت پیر شده و سپس در آب سرد شدند. سایر نمونه‌ها در دمای 400°C به مدت ۴، ۸ و ۲۰ ساعت پیر شدند. پیرکردن همهٔ نمونه‌ها تحت نیرو و در قالب فولادی انجام شد. قالب فولادی مورد استفاده از سنبه و ماتریسی به شعاع انحنای 18mm تشكیل شده بود که کرنشی درحدود 27% به سیم اعمال می‌کند. قالب قبل از قرارگیری در کوره با فویل آلومینیومی پوشانده شده تا از میزان اکسیژن جذب شده در آلیاژ حین حرارت دادن کاسته شود.

مقاومت الکتریکی سیم‌ها با یک دستگاه میکرواهم متر (واقع در پژوهشگاه مواد و انرژی) اندازه‌گیری شد. نمودارهای مقاومت الکتریکی دما برای هر نمونه با واردنمودن اطلاعاتی مانند سطح مقطع سیم (A) و طول آن (L) باستفاده از دستگاه مذکور رسم شد. برای این منظور ابتدا سیم داخل محفظهٔ شیشه‌ای دستگاه قرار گرفت و سپس با اعمال جریان (I)، اختلاف ولتاژ بین دو سر سیم (V) اندازه گرفته شد تا از نرم افزار متصل به دستگاه در هر دما، مقاومت الکتریکی (ρ) از رابطه (۱) تعیین شود:

$$\rho = \frac{V}{I} \cdot \frac{A}{L} \quad (1)$$

محفظهٔ شیشه‌ای حاوی نمونه برای رسیدن به دماهای بالا داخل بشر آب با دستگاه گرمادهنده (هیتر) حرارت دید و برای کاهش دمای نمونه به دمای کمتر از محیط از نیتروژن مایع استفاده شد. صحت نتایج نمودار مقاومت الکتریکی دما با انجام آزمون DSC بر روی سیم خام و آنیل شده و مقایسه نتایج ارزیابی شد. برای این منظور از دستگاه DSC-NETSCH ساخت آلمان استفاده شد. گرم و سرد کردن نمونه با سرعت $10^{\circ}\text{C}/\text{min}$ انجام شد. نمونه‌ها در هر دو روش ابتدا از دمای

اثر حافظه‌داری دوطرفه از جوانه‌زنی و رشد مرجع واریانت‌های مارتنتزیتی هدایت شده توسط تنش‌های داخلی نشئت می‌گیرد [۲۲]. این خاصیت با روش‌های مختلف در اثر تربیت‌های خاص ترمومکانیکی در برخی از آلیاژهای حافظه‌دار ایجاد می‌شود [۳۱، ۳۰، ۲۲].

ترکیب شیمیایی و روش آنیل کردن دو پارامتر اثرگذار بر خاصیت حافظه‌داری دوطرفه است [۲۰]. تحقیقات متعدد نشان داده است که ترکیبات هم‌اتم یا غنی از نیکل آلیاژهای Ni-Ti بعداز یک عملیات حرارتی مناسب مانند پیری تحت نیرو [۳۱] قابلیت ایجاد خاصیت دوطرفه را دارند. این فرآیند طی پژوهش حاضر برای تغییر کاربری سیم‌های سوپرالاستیک به عملگرهای حرارتی با خاصیت حافظه‌داری دوطرفه به کار رفته است.

اثر پیری بر دماهای استحاله فازی-دمای M_a (شروع استحاله مارتنتزیتی)، M_f (پایان استحاله مارتنتزیتی)، A_f (شروع استحاله آستینتیتی) و A_a (پایان استحاله آستینتیتی) با روش‌های متفاوتی قابل بررسی است. اندازه‌گیری مقاومت الکتریکی ازجمله این روش‌هاست. این روش یکی از دقیق‌ترین و بهترین روش‌ها برای شناسایی استحاله‌های فازی انجام شده در اثر حرارت و القاء تنش است [۲۷، ۲۹، ۳۲، ۳۳]. در این پژوهش، مزایای مقاومت‌سنجدی نسبت به DSC با بهره‌گیری از یک دستگاه ER ساخت داخل، مورد ارزیابی عینی شده است.

۲- نحوه انجام آزمایش

نمونه‌های سوپرالاستیک NiTi با ترکیب $50/40\text{at}\% \text{Ni}$ از سیم‌های ارتودنسی دارای سطح مقطع $0.63 \times 0.43\text{mm}^2$ ساخت شرکت MIB فرانسه انتخاب شدند. نمونه‌های صاف تهییه شده از سیم‌ها در دو آمپول کوارتزی با خلا 10^{-3}Pa $1/33 \times 10^{-3}\text{Pa}$

R، افزایش یافت. منحنی حاصل حین استحاله فاز R به M تغییر شیب یافت [۳۵]. دماهای استحاله با رسم خطوط مماس بر منحنی های همچوار با شیب های مختلف و یافتن محل تقاطع آنها تعیین شد. این روش به وضوح در شکل ۲ [۲۷] آمده است. دماهای استحاله در شکل ۱ با خطوط عمودی نمایش داده شده و مقادیر عددی آنها در جدول ۱ گزارش شده است. مطابق شکل ۱، آنل انجالی در هر دو دما باعث کاهش دماهای استحاله شده است. این کاهش در مورد دماهای A_f و A_c ناچیز است.

همان طور که از منحنی های حاصل از دو روش آشکار است، ساختار آلیاژ اولیه در دماهای کمتر از ۳۶°C- کاملا مارتزیتی است؛ اما با افزایش دما، فاز واسطه R و سپس آستینیت در ساختار آلیاژ ظاهر می شود. ظهور فاز R در نمودار مقاومت الکتریکی دما را می توان از روی تغییر شیب نمودار و ایجاد شکل کلاه مانند [۲۷] تشخیص داد. این فاز در منحنی DSC (شکل ۱الف) نیز با ایجاد یک پیک نشان داده شده است. ناهمگن بودن ریزساختار زمینه یکی از دلایل حضور دو پیک در منحنی های سرد کردن و گرم کردن طیف DSC (حضور فاز R در هر دو سیکل) است [۳۶].

تعیین دماهای A_f و A_c از روی منحنی DSC آلیاژ خام به دلیل روی هم افتادن پیک های مربوط دقیق نیست. همچنین آنل کردن نمونه یا همگن سازی ریزساختار، حضور فاز واسطه را در سیکل سرد کردن کمرنگ تر می کند. شکل های ۱ب و ۱ج این اثر را در مورد نمونه های آنل شده نشان می دهد. لذا شناسایی فاز R و دماهای شروع و پایان استحاله آن در طیف DSC گرفته شده از آلیاژ های آنل شده مشکل و تقریباً غیرممکن به نظر می رسد. روش اندازه گیری مقاومت الکتریکی در مواردی که روش DSC ناممکن است، به ویژه در شناسایی فاز R دقیق تر عمل می کند. نتایج این دو روش در بقیه موارد با هم هماهنگی کامل دارند (جدول ۱). این هماهنگی کارکرد

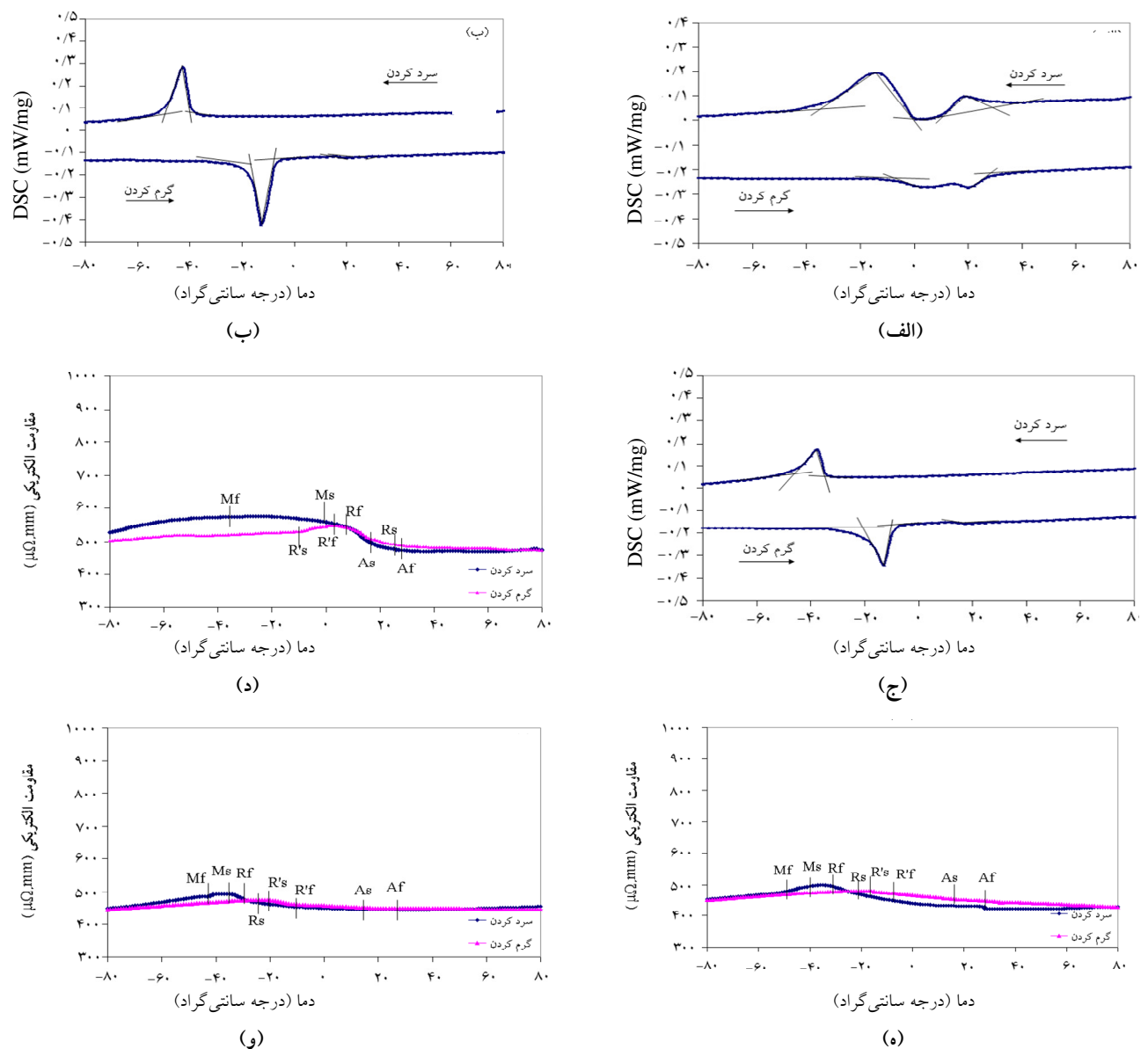
محیط تا دمای ۸۰°C- سرد شدن و سپس تا ۸۰°C گرم شدن و در مرحله سرد کردن تا ۸۰°C- سرد شدن. سطح مقطع نمونه ها برای بررسی ریزساختار آلیاژ بعداز مانت شدن، با کاغذ های سنباده و دستگاه پولیش آینه ای شد و سپس با محلول HNO₃+HF+H₂O ۴ به مدت ۴۵ s اچ شد تا با میکروسکوپ نوری Olympus مدل CK40M مورد مطالعه قرار گیرد.

۳- نتایج و بحث

نمودارهای حاصل از روش DSC برای نمونه های خام و آنل شده در دو دمای متفاوت ۸۵۰ و ۱۰۰۰°C در شکل ۱الف-ج آمده است. برای تعیین دماهای استحاله از قله پیک ها بر دامنه های آنها مماس هایی رسم شده است. محل تقاطع این مماس ها با ادامه خطوط قبل یا بعداز پیک بیانگر دماهای تغییر حالت است [۳۴].

مقاومت الکتریکی سیم ارتدنسی خام و آنل شده در دماهای ۸۵۰ و ۱۰۰۰°C در محدوده دمایی ۸۰- ۸۰°C هنگام گرم کردن و سرد کردن اندازه گیری شد. نتایج به صورت دو منحنی (سیکل سرد کردن و سیکل گرم کردن) بر حسب تابعی از دما در شکل ۱دو آمده است. دماهای شروع و پایان تشکیل هر سه فاز A_f، A و R در هر دو سیکل بالاستفاده از منحنی مقاومت الکتریکی / دما تعیین شد.

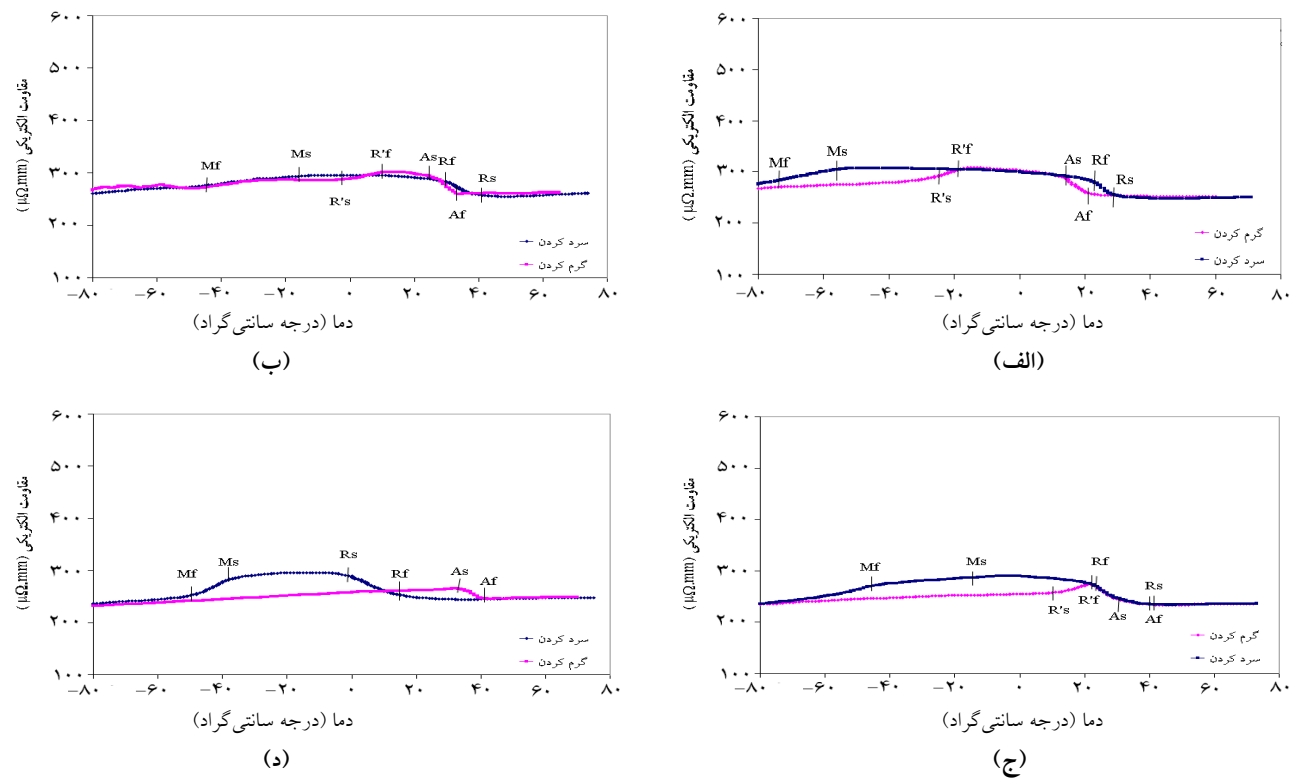
مقاومت الکتریکی آلیاژ با بالارفتن دما (سیکل گرم کردن) افزایش یافت. شدت این افزایش با شروع استحاله R از M بیشتر شد و در دمای اتمام استحاله فاز R به حداقل خود رسید. سپس این روند معکوس شد و مقاومت الکتریکی در دمای A_f به کمترین مقدار خود رسید. همین طور با کاهش دما مقاومت الکتریکی کم شد، به طوری که با شروع تبدیل فاز A به



شکل ۱. نمودارهای DSC نمونه‌های الف. خام، ب. آنیل شده در 1000°C ج. آنیل شده در 850°C و نمودارهای حاصل از سنجش مقاومت الکتریکی نمونه‌های د. خام، ه. آنیل شده در 850°C و و. آنیل شده در 1000°C .

500°C به مدت ۴ ساعت پیر شده‌اند در شکل ۲ آمده است. جدول ۲ دماهای شروع و پایان تشکیل فازهای مختلف بر حسب دمای پیری را نشان می‌دهد. پیرکردن قطعه دماهای استحالة را افزایش داده است. این دماها با افزایش دمای پیری

صحیح دستگاه سنجش مقاومت الکتریکی را تأیید می‌کند. نمودارهای مقاومت الکتریکی بر حسب دما برای نمونه‌های آلیاژی که بعداز گذراندن یک مرحله آنیل انجالی در دمای 1000°C به مدت ۱ ساعت در دماهای 350°C ، 400°C و



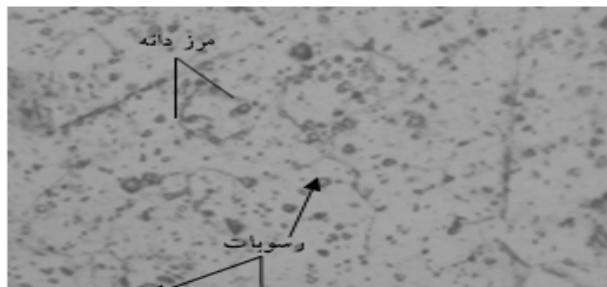
شکل ۲. نمودار مقاومت الکتریکی/دماهای سیم های پیر شده به مدت ۴ ساعت در دمای الف. ۳۵۰°C، ب. ۴۰۰°C، ج. ۴۵۰°C و د. ۵۰۰°C.

جدول ۱. دمای استحاله (°C) نمونه های خام و آنیل شده در دو دمای ۸۵۰ و ۱۰۰۰°C.

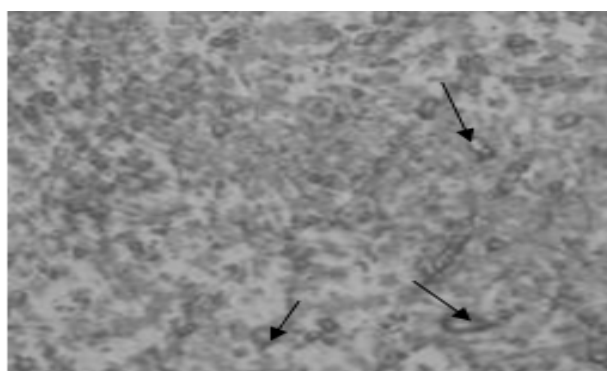
A _f	A _s	R' _f	R' _s	R _s	R _f	M _s	M _f	تست	نمونه
۲۹	-	-	-۹	۲۸	۱۰	-۱	-۳۶	DSC	خام
۲۹	۱۷	۱	-۹	۲۶	۹	۰	-۳۵	ER	خام
۲۷	۱۷	-۸	-۱۵	-	-	-۴۰	-۵۰	DSC	آنیل شده در ۸۵۰°C
۲۸	۱۶	-۸	-۱۵	-۲۱	-۳۲	-۴۰	-۵۰	ER	آنیل شده در ۸۵۰°C
۲۶	۱۵	-۹	-۲۱	-	-	-۳۵	-۴۶	DSC	آنیل شده در ۱۰۰۰°C
۲۷	۱۴	-۱۰	-۲۲	-۲۳	-۲۹	-۳۵	-۴۴	ER	آنیل شده در ۱۰۰۰°C

رسوب غنی از نیکل Ti_3Ni_4 می تواند در آلیاژهای با مقادیر بالای نیکل حضور داشته باشد. رسوبات $Ti_{11}Ni_{11}$ و Ti_2Ni_3 در زمینه آلیاژ با ساختار کریستالی B_2 ناپایدار بوده [۳۸، ۳۹] و با زمینه آستینیتی آلیاژ، همدوس نمی باشند [۴۰].

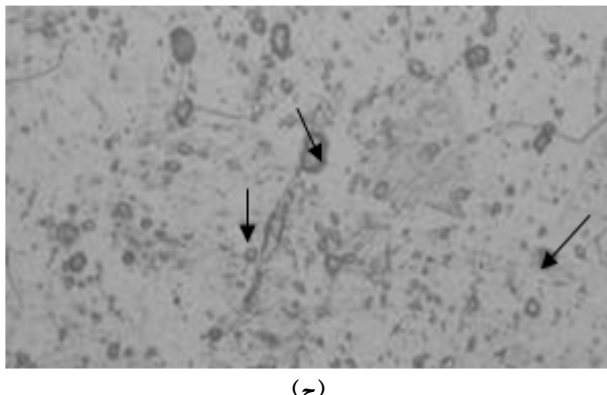
تا ۴۵۰°C روندی صعودی دارند؛ زیرا در این دماها رسوبات غنی از نیکل به ویژه در مرز دانه ها رشد می کنند و باعث فقیر شدن نیکل در زمینه آلیاژ می شود و بنابراین دماهای استحاله افزایش می یابد [۳۷].



(الف)



(ب)



(ج)

شکل ۳. تصاویر میکروسکوپ نوری ریز ساختار آلیاژ پیر شده در دماهای الف. ۴۰۰، ب. ۴۵۰ و ج. ۵۰۰ درجه سانتی گراد.

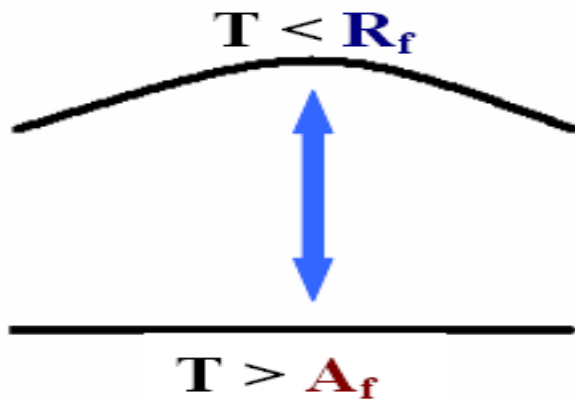
رسوبات بزرگتر می‌شوند تا حدی که اندازه آنها از مقدار بحرانی گذشته و در نتیجه کوهرننسی خود با زمینه را از دست

جدول ۲. دماهای استحاله سیم‌های آنیل شده در ۱۰۰۰°C به مدت ۴ ساعت در دماهای ۴۰۰، ۴۵۰، ۴۵۰ و ۵۰۰°C

A_f	A_s	R'_f	R'_s	R_s	R_f	M_s	M_f	دماهای پیرشدن (°C)
۲۶	۱۵	-۱۷	-۲۷	۲۸	۲۲	-۵۶	-۷۴	۳۵۰
۳۵	۲۸	۱۱	-۳	۴۰	۲۸	-۱۸	-۴۴	۴۰۰
۴۳	۳۰	۲۱	۱۲	۴۲	۲۹	-۱۴	-۴۲	۴۵۰
۳۹	۳۳	-	-	۱۲	-۲	-۳۸	-۴۸	۵۰۰

لذا به Ti_4Ni_4 تبدیل می‌شوند. این رسوبات در کمتر از ۴۰۰ درجه سانتی گراد به صورت ذرات ریز و پراکنده در حجم ماده حضور داشته و "عمولاً" دارای بیشترین کوهرننسی با زمینه هستند [۴۱]. کوهرننسی بالای رسوبات با زمینه توأم با افزایش دانسیته عیوب [۴۲]، میدان‌های تنشی اطراف رسوبات و اصطکاک داخلی در آلیاژ است [۴۳]. هرچه میزان عیوب کریستالی مانند عیوب نقطه‌ای و خطی افزایش یابد مقاومت الکتریکی نیز افزوده می‌شود [۴۴].

شکل ۳ تصویر میکروسکوپ نوری قطعات سیمی که در دماهای مختلف ۴۰۰، ۴۵۰ و ۵۰۰°C به مدت ۴ ساعت پیر شده‌اند را نشان می‌دهد. محل رسوبات در شکل با فلش نمایش داده شده است. با افزایش دماهای پیری از ۴۰۰ به ۴۵۰°C، رسوبات درشت شده و پراکنده‌گی و کوهرننسی آنها کاهش می‌یابد [۴۱] (شکل‌های ۳-الف و ۳-ب را با هم مقایسه کنید). بزرگتر شدن رسوبات و همچنین بیشتر شدن فاصله آنها از هم موجب افزایش دماهای استحاله مارتزیتی می‌شود [۴۳]. اما همان‌طور که در جدول ۲ نمایان است، دماهای استحاله با افزایش دماهای پیری به ۵۰۰°C کاهش پیدا می‌کند. در این دما،



شکل ۴. تصویر خاصیت حافظه‌داری دو طرفه ایجاد شده در سیم.

دماهای 450°C برای ساخت عملگرهای ماهیچه مصنوعی مناسب‌اند.

لازم به ذکر است که ساخت کامپوزیت سیم‌های ارتودنسی/سیلیکون توسط نویسنده‌گان این مقاله در مرجع [۴۷] گزارش شده است. زمینه پلیمری کامپوزیت حاوی این عملگرها می‌تواند از سوختن احتمالی بافت‌های اطراف در دماهای بالاتر از 42°C جلوگیری کند.

نمودارهای مقاومت الکتریکی-دما برای نمونه‌هایی که بعداز گذراندن یک مرحله آنیل انحلالی در دماهای 850°C مدت ۱ ساعت در دماهای 400°C به مدت ۴، ۸ و ۲۰ ساعت پیر شده‌اند در شکل ۵ آمده است. دماهای استحاله نمونه‌های فوق نیز در جدول ۳ آمده است.

زمان پیری، یکی دیگر از پارامترهای مؤثر بر دماهای استحاله و سختی آلیاژ است. مشاهدات تجربی نشان داده است که با افزایش زمان پیری، نیروی لازم برای ختم و راست‌کردن سیم‌ها کم شده و انعطاف‌پذیرتر می‌شوند [۴۵].

پیرکردن آلیاژی با ترکیب مشابه به مدت ۴ ساعت باعث می‌شود تا بیشترین کوهرنسی میدان‌های تنفس ناشی از کوهرنسی بالای رسبوب‌های Ti_3Ni_4 ، اتفاق بیافتد [۴۶، ۴۰].

می‌دهند (شکل ۳-ج). بدین ترتیب با افزایش فاصله رسوبات از هم (مقایسه شکل ۳-الف و ۳-ج)، زمینه در مقابل تشکیل فاز مارتنتزیت مقاومت نسبتاً کمتری نشان می‌دهد [۴۳]. در نتیجه دماهای استحاله کاهش می‌یابد. حضور عیوب کریستالی مانند نابجایی‌ها می‌تواند باعث تسهیل در تشکیل فاز R شود. با افزایش دماهای پیری، دانسیته نابجایی‌ها کاهش می‌یابد. علت محوشدن فاز R می‌تواند دراثر حذف تنفس داخلی دراثر تبلور مجدد دانه‌ها باشد. این فاز بیشتر در مناطق با مرکز تنفس داخلی جوانه زنی می‌کند. با افزایش دماهای پیری، تراکم نابجایی‌ها و درنتیجه تنفس داخلی کاهش می‌یابد [۲۷].

مطالعات نشان داده است که استحاله فاز R که همراه با ناموزونی شبکه کریستالی است بر خواص حافظه‌داری و سوپرالاستیسیته تأثیر می‌گذارد. تفاوت این استحاله با استحاله مارتنتزیتی در این است که میزان کرنش قابل بازیابی حدود 3% است. این در حالی است که در استحاله مارتنتزیتی این میزان حتی به 10% هم می‌رسد [۴۲]. هنگامی که استفاده از اثر حافظه‌داری در مصارف پزشکی مدنظر باشد، پایداری این اثر در بارگذاری‌های سیکلی (عمر خستگی) اهمیت می‌یابد. نتایج نشان داده است که عمر خستگی برای فاز R در مقایسه با فاز M بیشتر است [۴۳]. در این مقاله، خاصیت حافظه‌داری دوطوفه آلیاژ که یکی از خصوصیات لازم برای کاربرد در ساخت عملگرهای پزشکی است، بعداز پیرسازی سیم‌ها مشاهده شد. شکل ۴ این اثر در مورد نمونه‌هایی که دماهای استحاله فاز R بالاتری دارند را نشان می‌دهد. سیم‌ها در دماهای کمتر از M_f به شکل خمیده است؛ ولی با افزایش دما به حدود A_f صاف می‌شوند و با سردشدن تا حدود R_f به دلیل کرنش پایین‌تر از 3% به شکل خمیده درمی‌آیند. از این خصوصیات می‌توان برای ساخت گیره‌های پزشکی و نیز ساخت ماهیچه‌های مصنوعی استفاده کرد.

دماهای پیری 400 و 450°C با توجه به دماهای استحاله گزارش شده در جدول ۲ برای ساخت گیره‌های پزشکی و

افزایش زمان پیری از ۴ به ۸ و ۲۰ ساعت، کوهرنسی این رسوبات را از بین می‌برد و دماهای استحاله را تغییر می‌دهد. با افزایش زمان پیری و توزیع ناهمگن رسوبات در زمینه و رشد آنها، میدان‌های ناهمگن و وسیع تنش در آلیاژ ایجاد می‌شود. زمان بالاتر پیری باعث رشد رسوبات غنی از نیکل می‌شود و در صد تیتانیم غنای آلیاژ را زیاد می‌کند و لذا دماهای استحاله افزایش می‌یابند [۳۷]. نتایج جدول ۳ تأییدکننده این موضوع است.

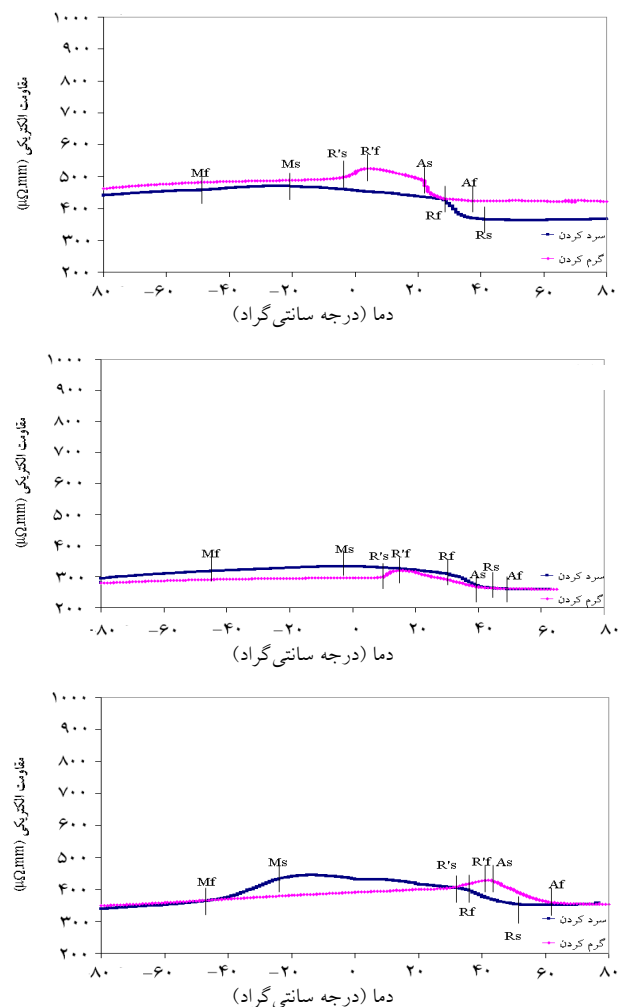
نمونه‌های پیرشده در زمان‌های ۲۰-۸ ساعت برای استفاده در بدن برای عملکرد ماهیچه‌های مصنوعی مناسب‌تر است. علاوه بر داشتن از خاصیت حافظه‌داری دو طرفه، دماهای متناسب برای این کاربرد خاص را نیز دارند. تمام زمان‌های ذکر شده برای ساخت گیره‌های پزشکی مناسب‌اند. مقایسه بین نمونه‌های پیرشده در دمای ۴۰۰°C به مدت ۴ ساعت با دماهای آنیل انحلالی متفاوت بیانگر این مطلب است که نمونه با دمای آنیل بالاتر در بیشتر موارد دماهای استحاله بالاتری به خود اختصاص داده است.

۴- نتیجه گیری

- آزمایش‌های انجام شده نشان‌دهنده هماهنگی بین نتایج روش‌های DSC و اندازه گیری مقاومت الکتریکی است. چه بسا در بعضی موارد مثل شناسایی دماهای شروع و پایان استحاله فاز R مقاومت الکتریکی کارآئی بهتری از خود نشان می‌دهد.

- آنیل کردن سیم ارتدنسی، دماهای استحاله آن را کاهش می‌دهد و در صد فاز R در آلیاژ کمتر می‌شود.

- پیرکردن تحت نیروی آلیاژ برای خمیدن سیم‌ها، دماهای استحاله را افزایش می‌دهد. این افزایش با صعود دمای



شکل ۵. نمودار مقاومت الکتریکی/دماهای سیم‌های پیرشده در دمای ۴۰۰°C به مدت الف. ۴، ب. ۸ و ج. ۲۰ ساعت.

جدول ۳. دماهای استحاله سیم‌های آنیل شده در ۸۵۰°C و پیرشده به مدت زمان‌های ۴، ۸ و ۲۰ ساعت در دمای ۴۰۰°C.

	A_f	A_s	R'_f	R'_s	R_s	R_f	M_s °C	M_f °C	زمان پیرشدن (ساعت)
۳۷	۲۲	۳	-۳	۴۰	۲۹	-۲۱	-۵۰	۴	
۵۰	۴۰	۱۶	۱۰	۴۵	۳۱	-۴۰	-۵۰	۸	
۶۲	۴۴	۴۲	۲۲	۵۱	۳۶	-۲۵	-۴۷	۲۰	

- Alloy After Two Years Implantation”, *Materials Science and Engineering C.*, Vol. 27 Issue 1 (2007) 122-126.
7. Kugala, S., Ryhanen, J., Jamsa, T., Danilov, A., Saaranen, J., Pramila, A. and Tuukkanen, J., “Bone Modeling Controlled by A Ni-Ti Shape Memory Alloy Intramedullary Nail”, *Biomaterials*, Vol. 23 Issue 12 (2002) 2535-2543.
 8. Takashi, M., Toshiaki, M., Yushiyuki, W., Seiya, K., Youichi, H. and Masayoshi, E., “An Active Guide Wire With Shape Memory Alloy Bending Actuator Fabricated by Room Temperature Process”, *Sensors and Actuators A*, Vol. 97-98 (2002) 632-637.
 9. س.خ. صدر نژاد، س.ت. نعیمی، م. فتحی و ن. حسن زاده نعمتی، “تأثیر زاویه خم شدگی بر عملکرد بستهای حافظه دار در کاربردهای پزشکی”， *مجموعه مقالات هشتمین کنگره مهندسی متالورژی*، مهر ماه (۱۳۸۳).
 10. Nah, S.K. and Zhong, Z.W., “A Microgripper Using Piezoelectric Actuation for Micro-Object Manipulation”, *Sensors and Actuators A Physical*, Vol. 133 No. 1 (2007) 218-224.
 11. Iijima, M., Ohno, H., Kawashima, I., Endo, K. and Misoguchi, I., “Mechanical Behavior at Different Temperatures and Stresses for Superelastic Nickel-Titanium Orthodontic Wires Having Different Transformation Temperatures”, *Dental Materials*, Vol. 18 Issue 1 (2002) 88-93.
 12. Wang, J., Li, N., Han, E. and Ke, W., “Effect of PH, Temperature and Cl Concentrations on Electrochemical Behavior of Nitinol Shape Memory Alloy in Artificial Saliva”, *Journal of Materials Science: Materials in Medicine*, Vol. 17 No. 10 885-890.
 13. س.خ. صدر نژاد، ا.ح. قربیشی و س. توابی، “تأثیر خم شدگی بر ابرکشانی و مورفولوژی چهار نوع سیم ارتدنسی تجاري از جنس نیکل-تیتانیم”， *فصلنامه مهندسی پزشکی زیستی*، زمستان (۱۳۸۳)، جلد ۱ شماره ۲ صفحات ۱۹۲-۱۸۱.
 14. م. حاج فتحیان، م. نیلی احمد آبادی و همکاران، “بررسی خاصیت سوپرالاستیسیته سیم ارتدنسی Nitinol با استفاده از خم شدگی به مقادیر مختلف سیم ارتدنسی شده با دهنان”， *نشریه دانشکده فنی شهریور* (۱۳۸۷)، دوره ۴۲ شماره ۵ صفحات ۶۴۷-۶۳۱.
 15. ج. خلیل علافی، ر. حداد بدر و ب. امین احمدی، “بررسی رفتار سوپرالاستیک سیم های ارتدنسی مختلف از جنس نیکل-تیتانیم”， *چهاردهمین کنفرانس مهندسی پزشکی*، (۱۳۸۶).
 16. El Meduar, L., Rocher, P., Hornez, J.C., Traisnel M., Breme, J. and Hildbrand, H.F.; “Electrochemical and Cytocompatibility Assessment of Nitinol Shape Memory Alloy for Orthodontic Use”, *Biomolecular Engineering*, Vol. 19 Issues 2-6 (2002) 153-160.
 17. Khorasani, M.T., Mirzadeh, H. and Kermani, Z., “Wettability of Porous Polydimethylsiloxane Surface: Morphology Study”, *Applied Surface Science*, Vol. 242 Issues 3-4 (2005) 339-345.
 18. Safak, K. and Adams, G., “Modelling and Simulation of an Artificial Muscle and its Application to Biomimetic

پیری تاحدود 450°C روندی رو به رشد دارد؛ اما با افزایش دما که همراه با کاهش پراکندگی و کم شدن کوهنوسی رسوبات غنی از نیکل موجود در زمینه است، رشد رسوبات، افزایش میدانهای تنش داخلی و کاهش تمرکز تنش با روند معکوس ادامه می‌یابد.

• افزایش زمان پیری به افزایش دماهای استحاله منجر می‌شود.

• حافظه داری دوطرفه دراثر فرآیند پیرسازی تحت نیرو در سیم های سوپرالاستیک تحت آزمایش ایجاد شد که در مصارف پزشکی مانند عملگرهای حرارتی از جمله ماهیچه مصنوعی ضروری به نظر می‌رسد.

مراجع

1. Law, K.T., Chan, A.W.K., Shi, S.Q. and Zhou, L.M., “Debond Induced by Strain Recovery of an Embedded Nitinol Wire at a Nitinol/Epoxy Interface: Microscale Observation”, *Materials and Design*, Vol. 23 Issue 3 (2002) 265-270.
2. Neuking, k., Abu-Zarifa, A. and Eggler, G., “Surface Engineering of Shape Memory Alloy/Polymer-Composites: Improvement of The Adhesion Between Polymers And Pseudoelastic Shape Memory Alloys”, *Materials Science and Engineering A*, Vol. 481-482 (2008) 606-611.
3. Koray, K., George, G. and Adams, S., “Modeling and Simulation of an Artificial Muscle and Its Application to Biomimetic Robot Posture Control”, *Robotics and Autonomous Systems*, Vol. 41 Issue 4 (2002) 225-243.
4. Favier, D., Liu, Y., Orgeas, L., Sandel, A. and Deboeuf, L., “Comte-Gaz,P.; Influence of Thermomechanical Processing on The Superelastic Properties of a Ni-Rich Nitinol Shape Memory Alloy”, *Materials Science and Engineering A*, Vol. 429 No. 1-2 (2006) 130-136.
5. Poon, R.W.Y., Yeung, K.W.K., Liu, X.Y., Chu, P.K., Chung, C.Y., Lu, W.W., Cheng, K.M.C. and Chon, D., “Carbon Plasma Immersion Ion Implantation of Ni-Ti Shape Memory Alloys”, *Biomaterials*, Vol. 26 No. 15 (2005) 2265-2272.
6. Li, C.Y., Yang, X.J., Zhang, L.Y., Chen, M.F. and Cui, Z.D., “In Vivo Histological Evaluation of Bioactive Nitinol Shape Memory Alloy”, *Journal of Biomedical Materials Research*, Vol. 83 No. 1 (2007) 10-16.

- the Effect of Thermal Cycling under Constant Stress on R-Phase in NiTi Shape Memory Alloy”, *Physica B.*, Vol. 324 Issues 1-4 (2002) 419–428.
32. Matsumoto, H., “Irreversibility in Transformation Behavior of Equiatomic Nickel-Titanium Alloy by Electrical Resistivity Measurement”, *Journal of Alloys and Compounds*, Vol. 368 Issues 1-2 (2004) 182–186.
 33. Pattabi, M., Ramakrishna, K. and Mahesh, K.; “Effect of Thermal Cycling on the Shape Memory Transformation Behavior of NiTi Alloy: Powder X-Ray Diffraction Study”, *Materials Science And Engineering A.*, Vol. 448 (2007) 33–38.
 34. Antonucci, V., Faiella, G., Giordano, M., Mennella, F. and Nicolais, L., “Electrical Resistivity Study and Characterization during NiTi Phase Transformations”, *Thermochimica Acta*, Vol. 462 (2007) 462.
 35. Otubo, J., Rigo, O.D., Coelho, A.A., Neto, C.M. and Meib, P.R.; “The Influence of Carbon and Oxygen Content on the Martensitic Transformation Temperatures and Enthalpies of NiTi Shape Memory Alloy”, *Materials Science and Engineering A.*, Vol. 481–482 (2008) 639–642.
 36. Khalil-Allafi, J., Eggeler, G., Dlouhy, A., Schmahl, W.W. and Somsen, Ch., “On the Influence of Heterogeneous Precipitation on Martensitic Transformations in a Ni-Rich NiTi Shape Memory Alloy”, *Materials Science and Engineering A.*, Vol. 378 (2004) 148–151.
 37. Nishida, M. and Wayman, C.M.; “Electron Microscopy Studies of Precipitation Processes in Near-Equiatomic TiNi Shape Memory Alloys”, *Materials Science and Engineering A.*, Vol. 94 (1987) 191–203.
 38. Nishida, M. and Wayman C.M., “Electron Microscopy Studies of the $Ti_{11}Ni_{14}$ Phase in an Aged Ti-50.2 at% Ni Shape Memory Alloy”, *Scripta Metal*, Vol. 19 (1985) 19 983–985.
 39. Jiang, F., Zheng, Y., Yang, H. and Liu, Y., “Cyclic Ageing of Ti-50.8 at% Ni Alloy”, *Intermetallics*, Vol. 16 Issue 3 (2008) 394–398.
 40. Kim, J.I., Liu, Y. and Miyazaki, S., “Ageing-Induced Two-Stage R-Phase Transformation in Ti-50.9 %At. Ni”, *Acta Materialia*, Vol. 52 Issue 2 (2004) 487–499.
 41. Zarinejad, M., Liu, Y. and Tong, Y., Transformation Temperature Changes Due to Second Phase Precipitation in NiTi-Based Shape Memory Alloys, *Intermetallics*, Vol. 17 Issue 11 (2009).
 42. Peltonen, M., Lindroos, T. and Kallio M., “Effect of Aging on Transformation Kinetics and Internal Friction of Ni-Rich Ni-Ti Alloys”, *Journal of Alloys and Compounds*, Vol. 460 No. 1-2 (2008) 237–245.
 43. Uchil, J., “Shape Memory Alloys—Characterization Techniques”, *Journal of Physics*, Vol. 58 No. 5-6 (2002) 1131–1139.
 44. Ling, H.C. and Kaplow, R., 11:77 Sited By Otsuka K.; Introduction to the R-Phase Transition.
 45. Sadrnezhaad, S.K., Hassanzadeh Nemati, N. and Bagheri, R.; “Improved Adhesion of NiTi Wire to Silicone Matrix for Smart Composite Medical Robot Posture Control”, *Robotics and Autonomous Systems*, Vol. 41 No. 4 (2002) 225–243.
 19. Wang, Zh., Xiaotao, Z., Xiangdong, F. and Jingyi, D., “Effect of Thermomechanical Treatment on the Two Way Shape Memory Effect of NiTi Alloy Spring”, *Materials Letters*, Vol. 54 Issue 1 (2002) 55–61.
 20. Hamming, L.M., Fan, X.W., Messersmith, P.B. and Brinson, L.C., “Mimicking Mussel Adhesion To Improve Interfacial Properties in Composites”, *Composite Science and Technology*, Vol. 68 Issue 9 (2008) 2042–2048.
 21. Wada, K. and Liu, Y., “Thermomechanical Training and Shape Recovery Characteristics of NiTi Alloys”, *Materials Science and Engineering A.*, Vol. 481–482 (2008) 166–169.
 22. Antonucci, V., Faiella, G., Giordano, M., Mennella F. and Nicolais, L., “Electrical Resistivity Study and Characterization during NiTi Phase Transformations”, *Thermochimica Acta*, Vol. 462 Issues 1-2 (2007) 64–69.
 23. Fan, G., Zhou, Y., Cen, W., Yang, S., Ren, X. and Otsuka, K., “Precipitation of Ti_3Ni_4 in Polycrystalline Ni-Rich TiNi Alloys and Its Relation to Abnormal Multi-Stage Transformation Behavior”, *Materials Science and Engineering A*, Vol. 438–440 (2006) 622–626.
 24. Khalil-Allafi, J., Schmahl, W. and Toebbens, D., “Space Group and Crystal Structure of the R-Phase in Binary NiTi Shape Memory Alloys”, *Acta Materallia*, Vol. 54 Issue 12 (2006) 3171–3175.
 25. Goryczka T. and Morawiec H., “Structure Studies of the R-Phase Using X-Ray Diffraction Methods”, *Journal of Alloys and Compounds*, Vol. 367 Issues 1-2 (2004) 137–141.
 26. Uchil, J., Mahesh, K.K. and Ganesh Kumara, K., “Effect of Thermal Cycling on R-Phase Stability In a NiTi Shape Memory Alloy”, *Materials Science And Engineering A.*, Vol. 332 Issue 1-2 (2002) 25–28.
 27. Matsumoto, H.; “Electrical Resistivity of NiTi with High Transformation Temperature”, *Journal of Alloys and Compounds*, Vol. 370 Issues 1-2 (2004) 244–248.
 28. Novak, V., Sittner, P., Dayananda, G.N., Braz-Fernandes, F.M. and Mahesh, K.K.; “Electric Resistance Variation of NiTi Shape Memory Alloy Wires in Thermomechanical Tests Experiments and Simulation”, *Materials Science and Engineering A.*, Vol. 481–482 (2008) 127–133.
 29. Rykina, P.E., Prokoshkin, D.S., Khmelevskaya, I.Y. and Shakhmina, A.A., “One-Way and Two-Way Shape Memory Effect in Thermomechanically Treated TiNi-Based Alloys”, *Materials Science and Engineering A.*, Vol. 481–482 (2008) 134–137.
 30. Gyobu, A., Kawamura, Y., Horikawa, H. and Suburi, T., “Martensitic Transformation and Two-Way Shape Memory Effect of Sputter Deposited Ni-Rich Ti-Ni Alloy Films”, *Materials Science And Engineering A.*, Vol. 273–375 (1999) 749–753.
 31. Uchil, J., Mahesh, K.K. and Ganesh Kumara, K., “Electrical Resistively and Strain Recovery Studies on

“Age-Induced Four-Stage Transformation in Ni-Rich NiTi Shape Memory Alloys”; *Journal of Alloys and Compounds*, Vol. 458 Issues 1-2 (2008) 231–237.

Applications”, *Materials and Design*, Vol. 30 Issue 9 (2009) 1167-1172.
46. Chiang, L.J., Li, C.H., Hsu, Y.F. and Wang, W.H.,